

Measurement of the cosmic shear correlation function from SuprimeCam data

浜名崇 (国立天文台)

共同研究者

宮崎聰(国立天文台)

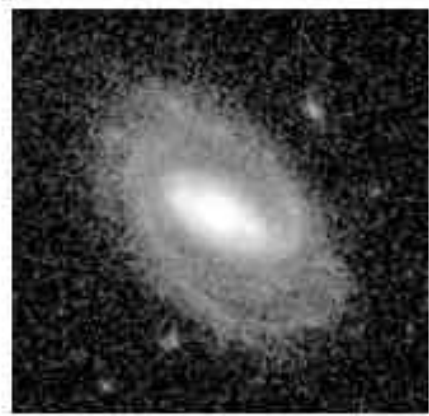
1. Introduction

2. SuprimeCamデータによるcosmic shear測定

3. 非ゼロ B-modeの起源

4. まとめ

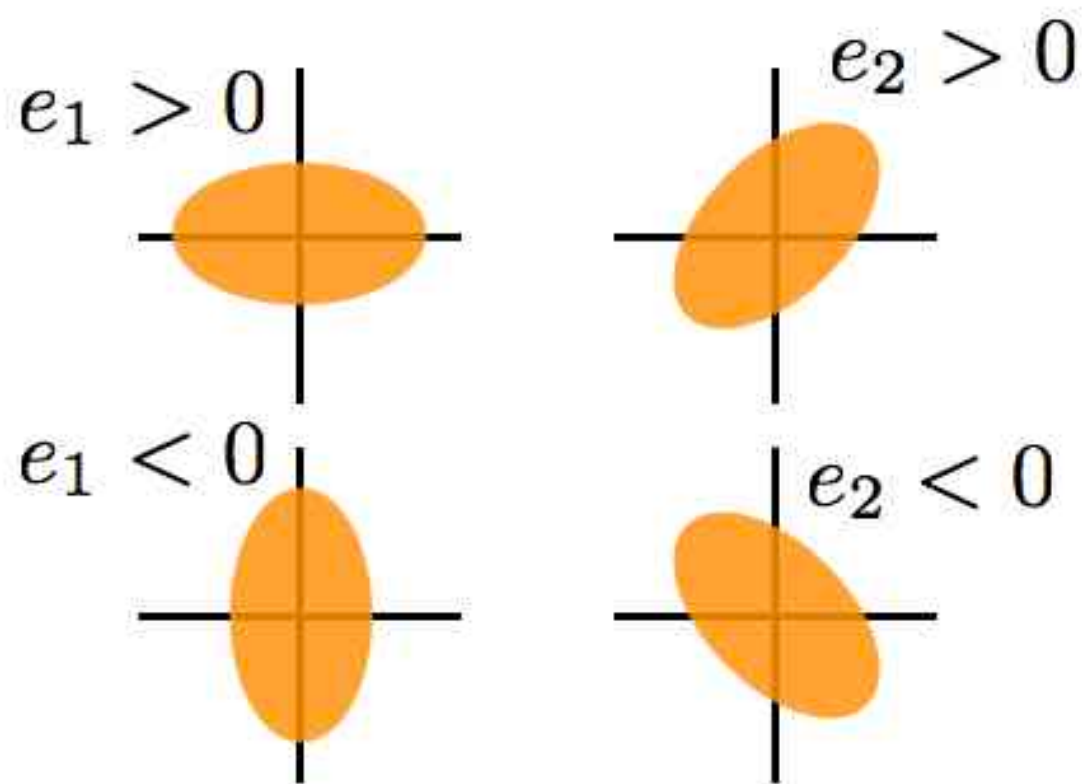
Introduction: “ellipticity”



$$Q_{ij} = \int d\theta^2 \theta_i \theta_j W(\theta) f(\theta) \quad \xleftarrow{\text{輝度分布}}$$

$$e_1 = \frac{Q_{11} - Q_{22}}{Q_{11} + Q_{22}}$$

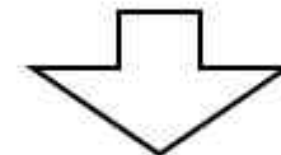
$$e_2 = \frac{2Q_{12}}{Q_{11} + Q_{22}}$$



一様橙円の場合

$$e = \frac{1 - (b/a)^2}{1 + (b/a)^2}$$

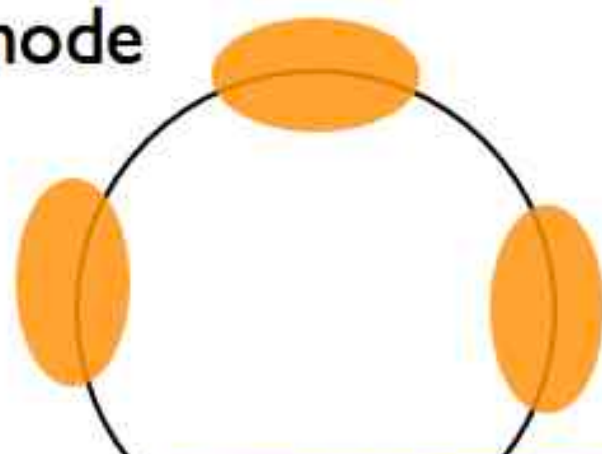
$$\left(e = \sqrt{e_1^2 + e_2^2} \right)$$



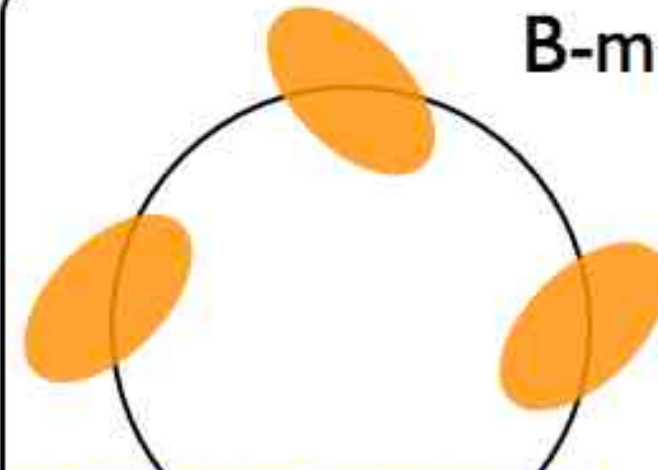
$$\frac{b}{a} \sim 1 - e$$

Introduction: E/B mode

E-mode



B-mode

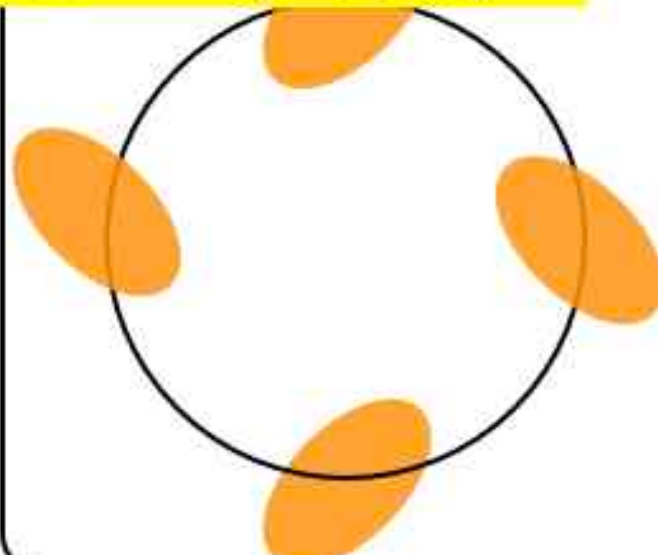
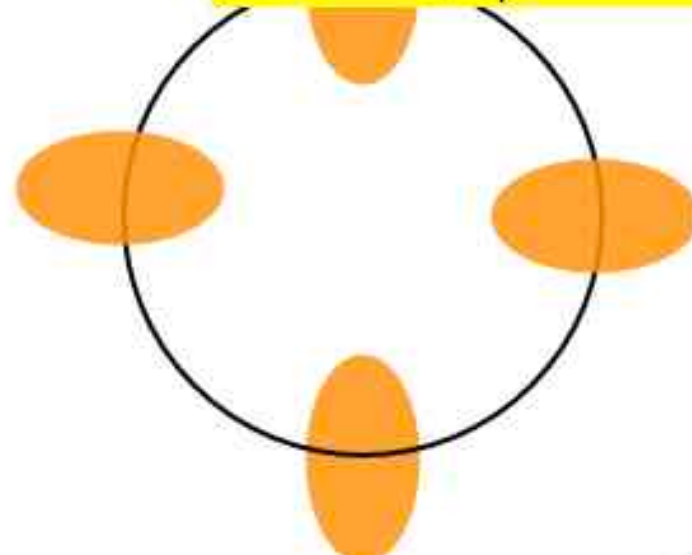


標準的な重力理論による重力レンズでは

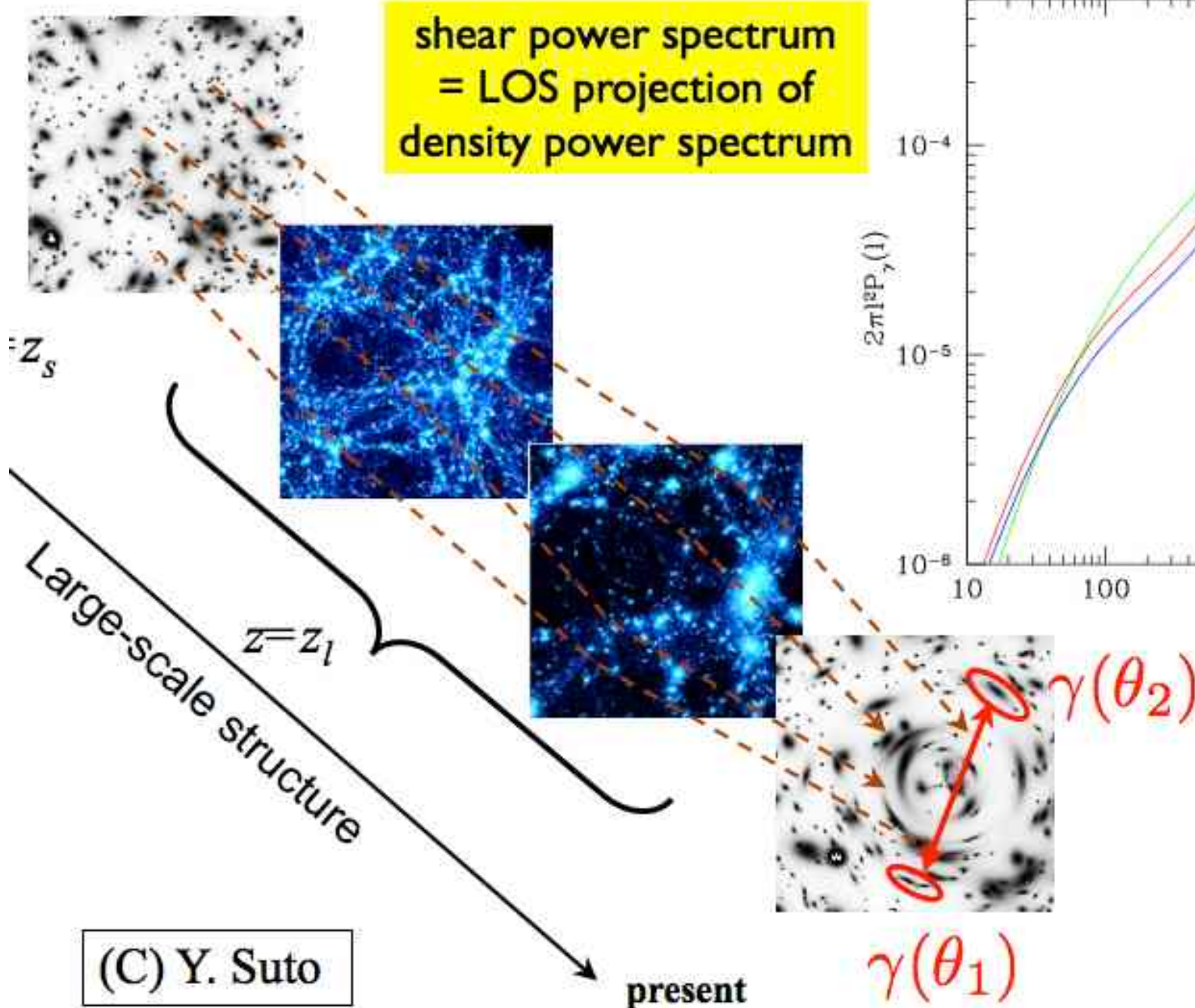
B-modeは生じない

$$\vec{E} = \vec{\nabla} \phi$$

$$\vec{B} = \vec{\nabla} \times \vec{A}$$



Introduction: cosmic shear correlations



$\gamma(\theta_1)$

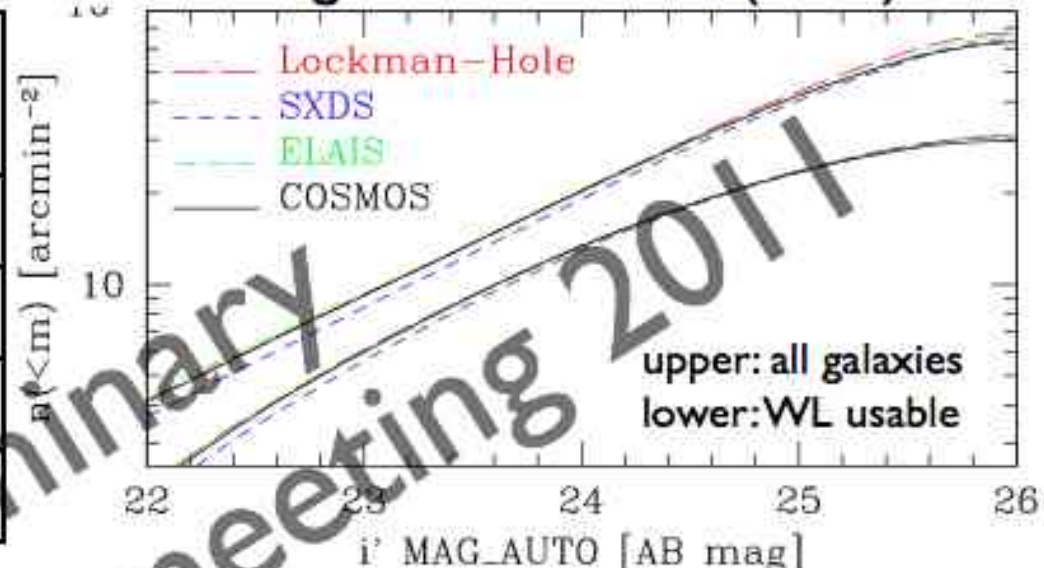
$\gamma(\theta_2)$

Cosmic shear from SCam data

i'-band (total=5.3deg²)

field	Area [deg ²]	seeing [""]	Texp [h]
ELAIS-NI	1.9	~0.57	1
COSMOS	1.7	~0.53	0.6
SXDS	1.0	~0.52	1.7
Lockman Hole	0.7	~0.51	1

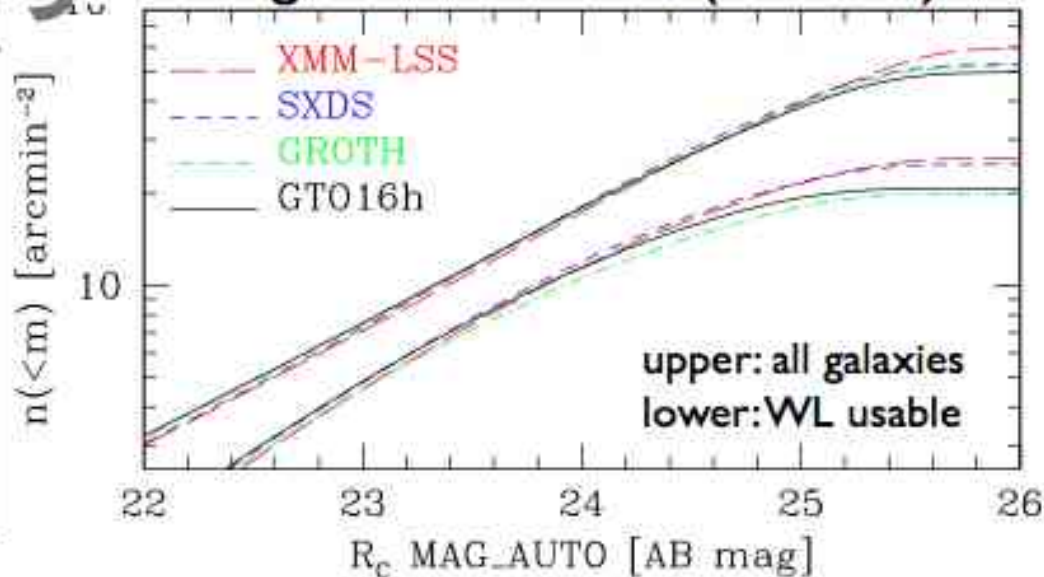
ng=23.5/arcmin² (i'<25)



Rc-band (total=5.1deg²)

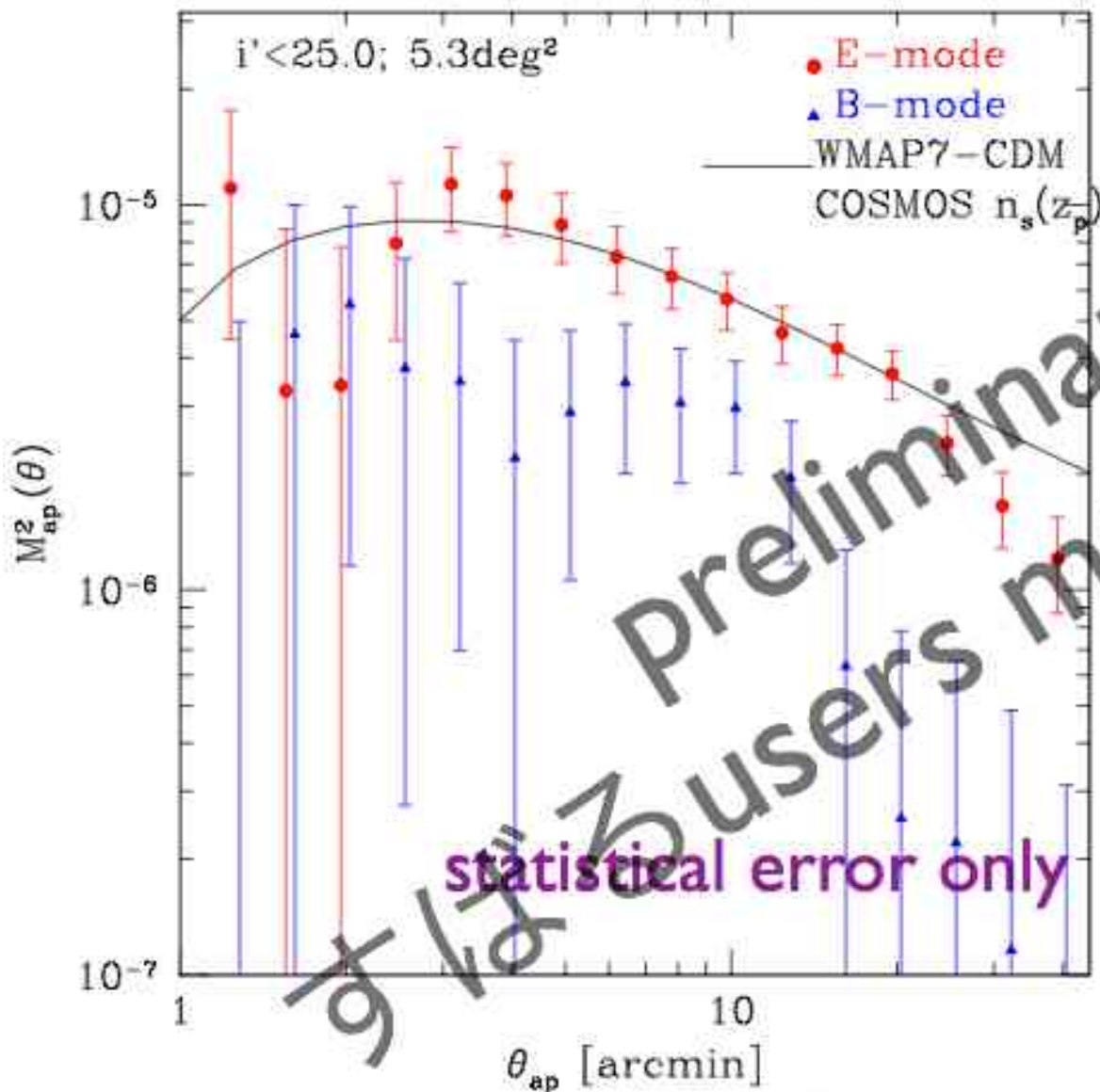
field	Area [deg ²]	seeing [""]	Texp [h]
XMM-LSS	1.9	~0.55	0.5
GTO16h	1.5	~0.62	0.5
SXDS	1.0	~0.56	0.9
GROTH	0.7	~0.57	0.5

ng=18.5/arcmin² (Rc<24.7)



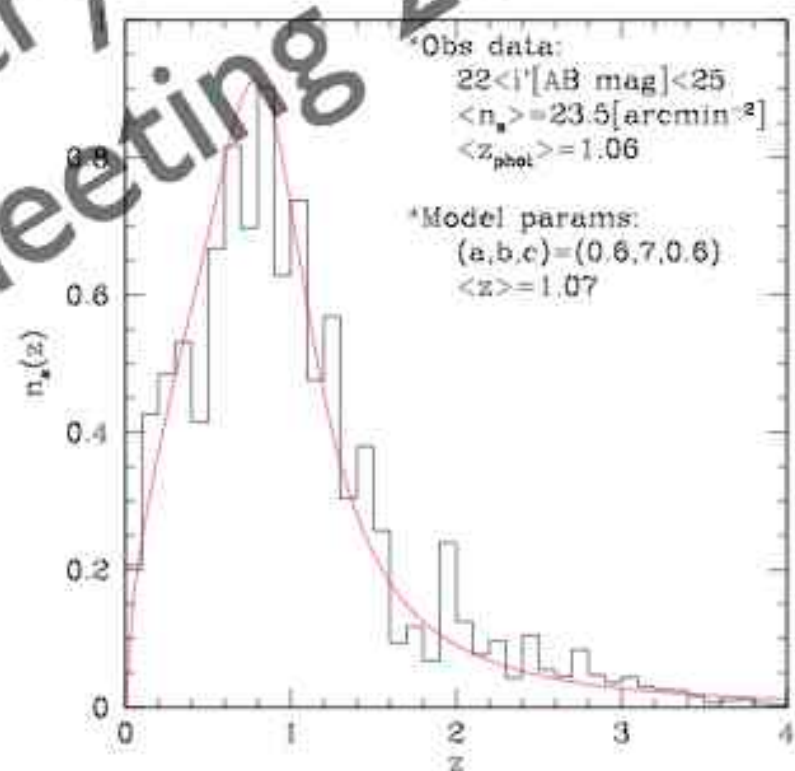
Cosmic shear from SCam data

Variance of shears filtered with a circular window



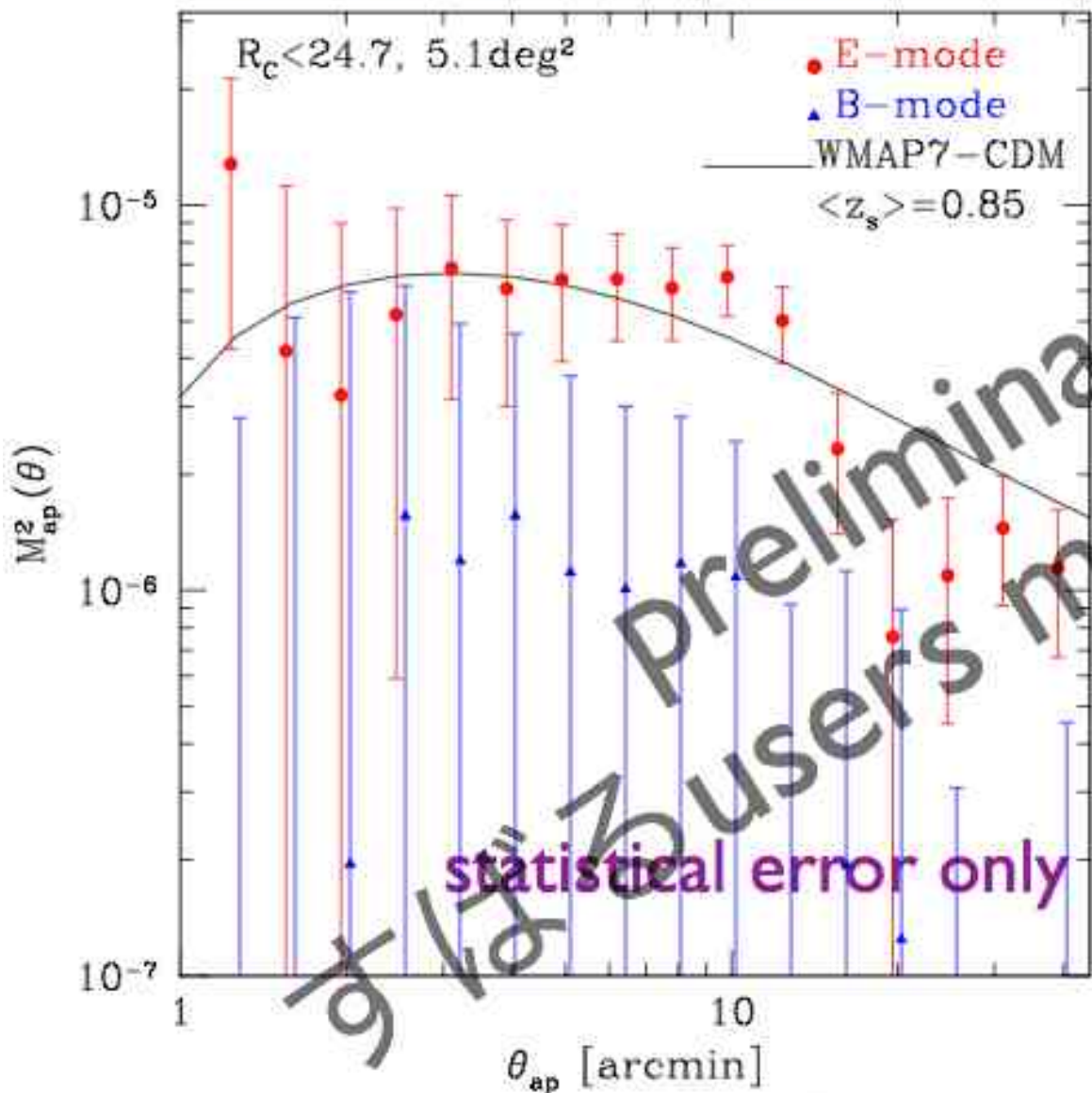
$$\theta_{phys} \sim \theta_{ap}/5$$

- $n_g = 23.5/\text{arcmin}^2$ ($i' < 25$)
- $\langle z_s \rangle = 1.06$ from Cosmos photo-z data



Cosmic shear from SCam data

Variance of shears filtered with a circular window



$$\theta_{phys} \sim \theta_{ap}/5$$

非ゼロB-modeの起源の理解にむけて

まずは解析精度をおさえる
つまり、ゼロになるべきものが、
どれだけゼロに近い値で測定されるのか？

今回やったこと

1. I.SCamの非対称PSFの性質の理解

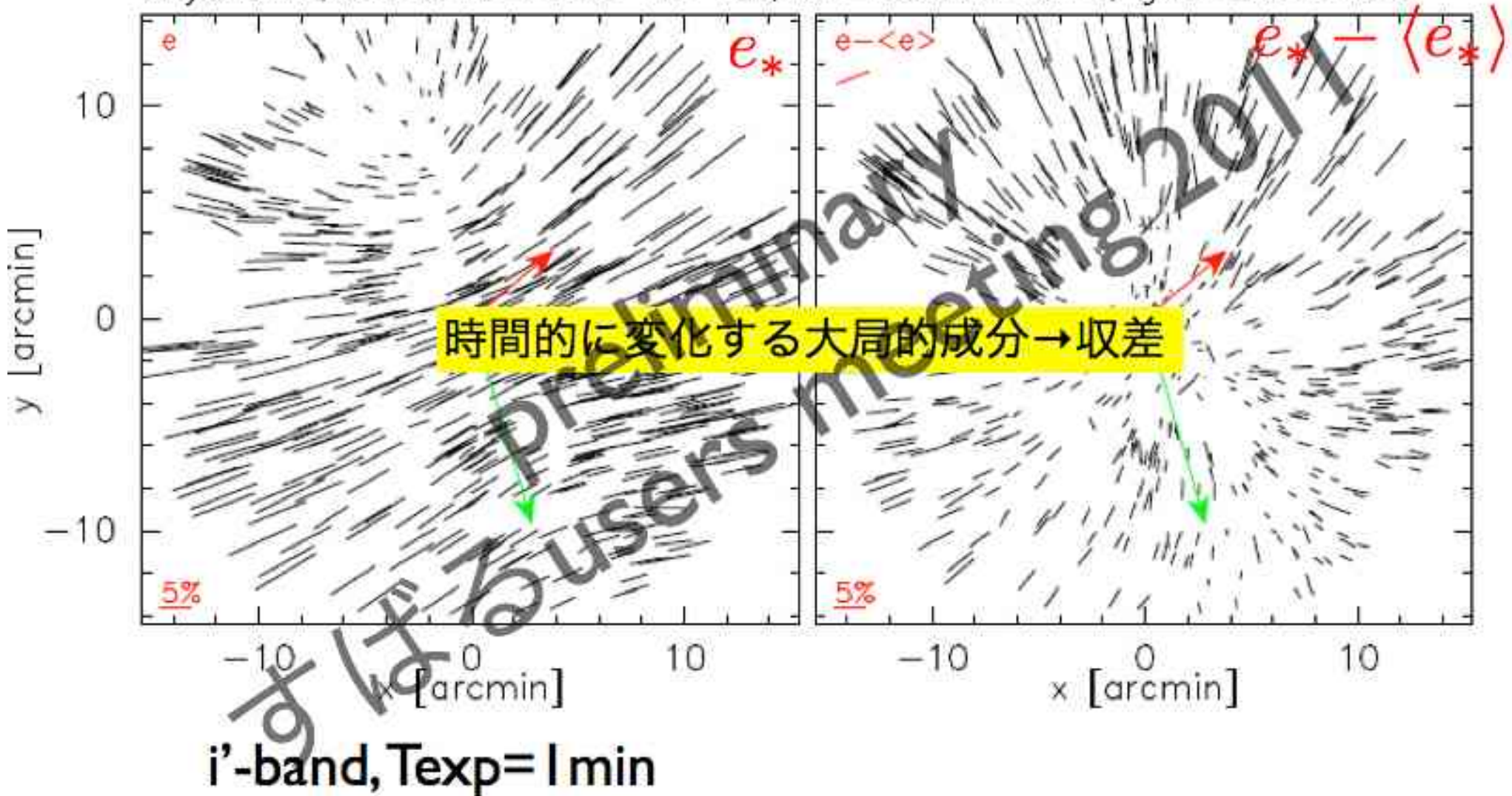
- 収差
- 大気乱流
- それ以外の成分

2. 非対称PSF補正の性能評価

PSF-ellipticity in SCam

PSF-ellipticity measured from stars

object042; OBSDATE=2002-09-30; UT=06:26:17.379; grav=50.437837



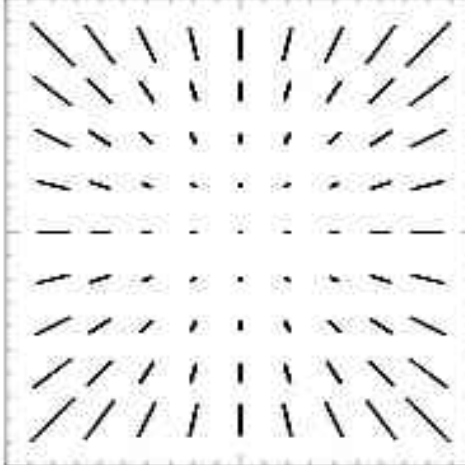
最低次の収差によるellipticity

軸対象

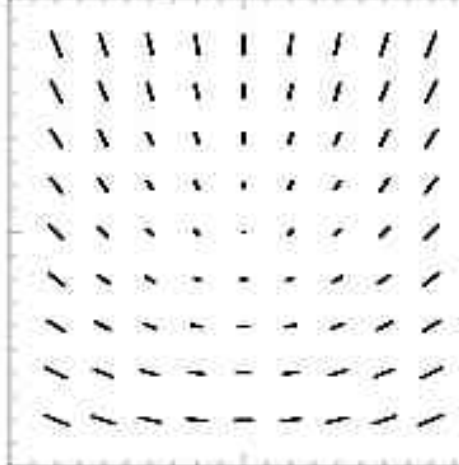
ザイデル非点 &
像面湾曲

非軸対象

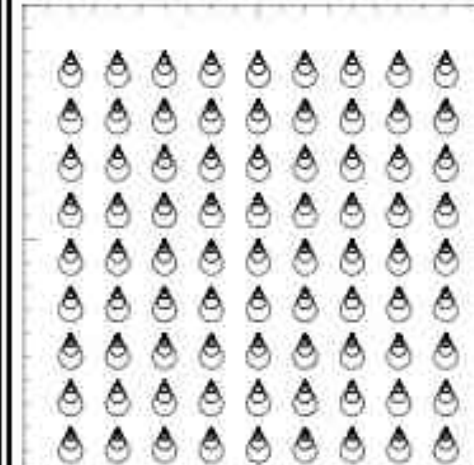
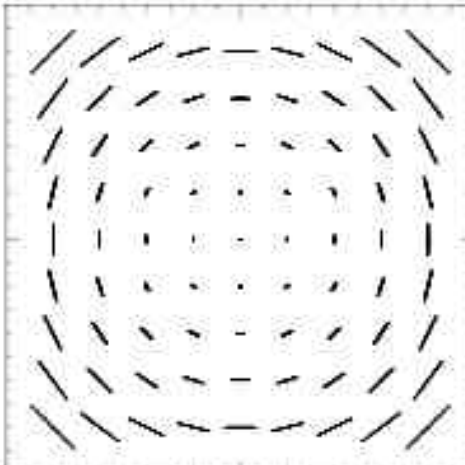
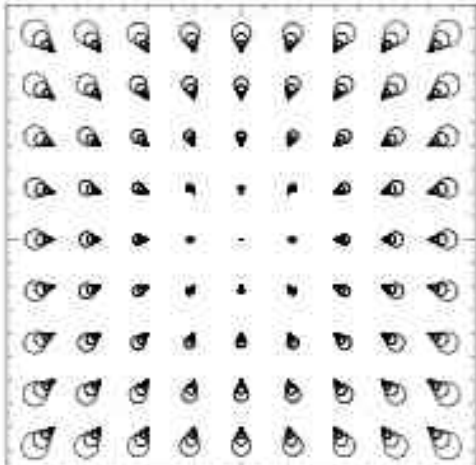
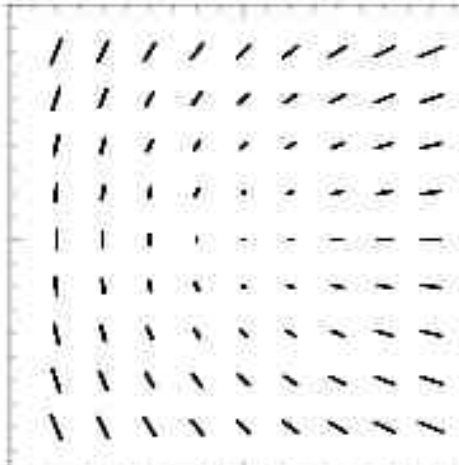
一定



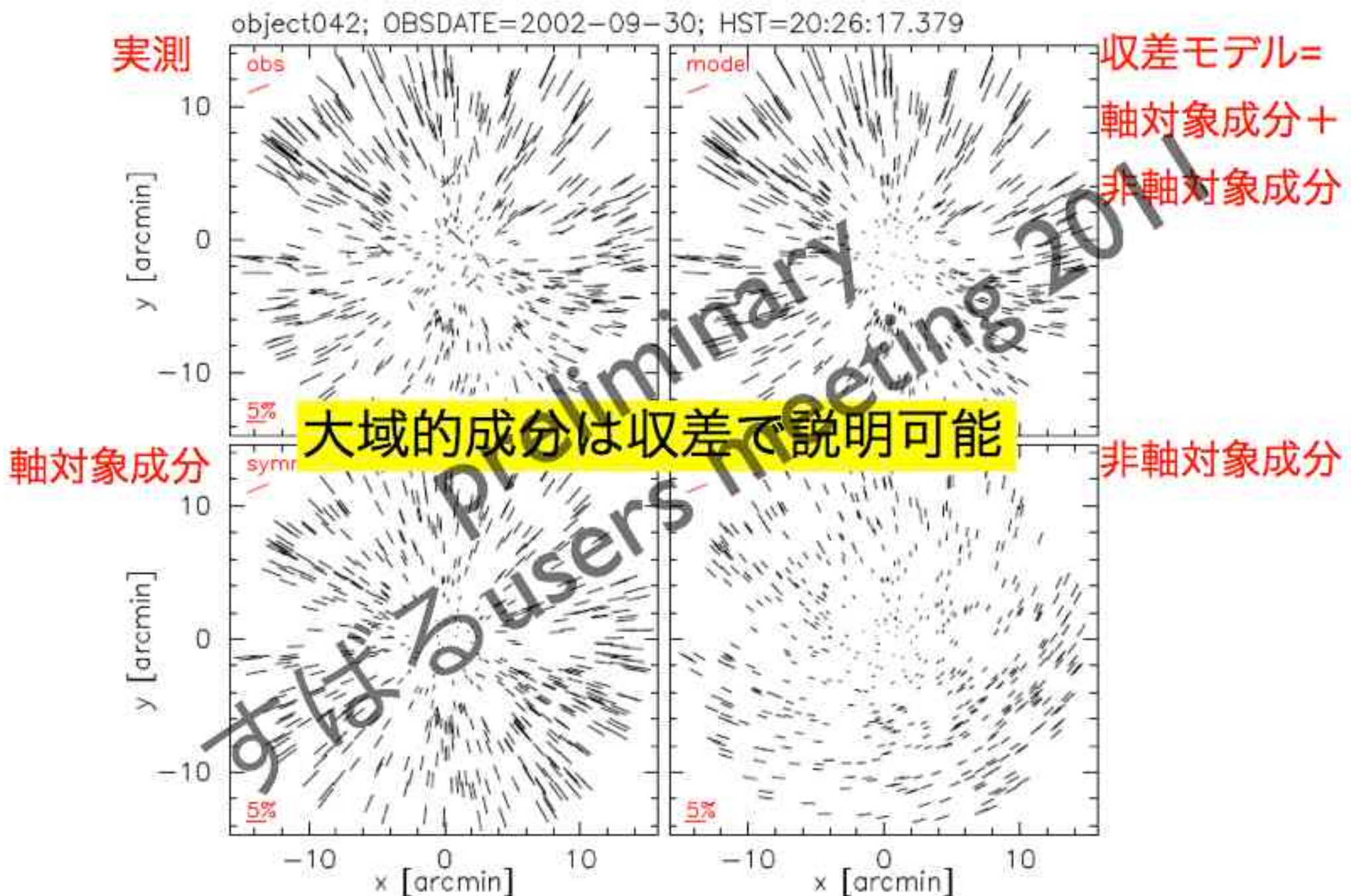
misalignment非点



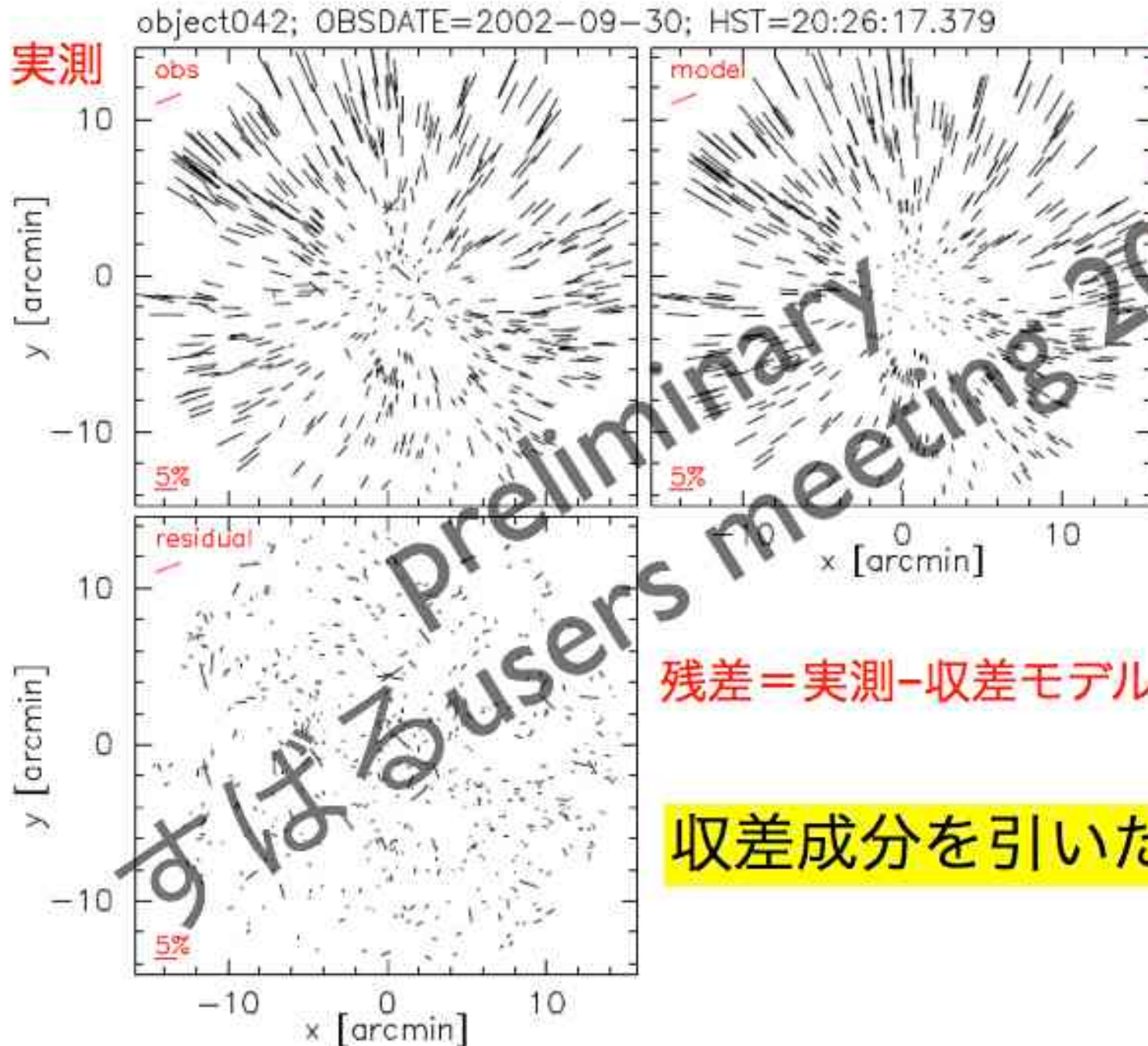
misalignmentコマ



収差によるPSF ellipticities



PSF ellipticities - ランダム成分

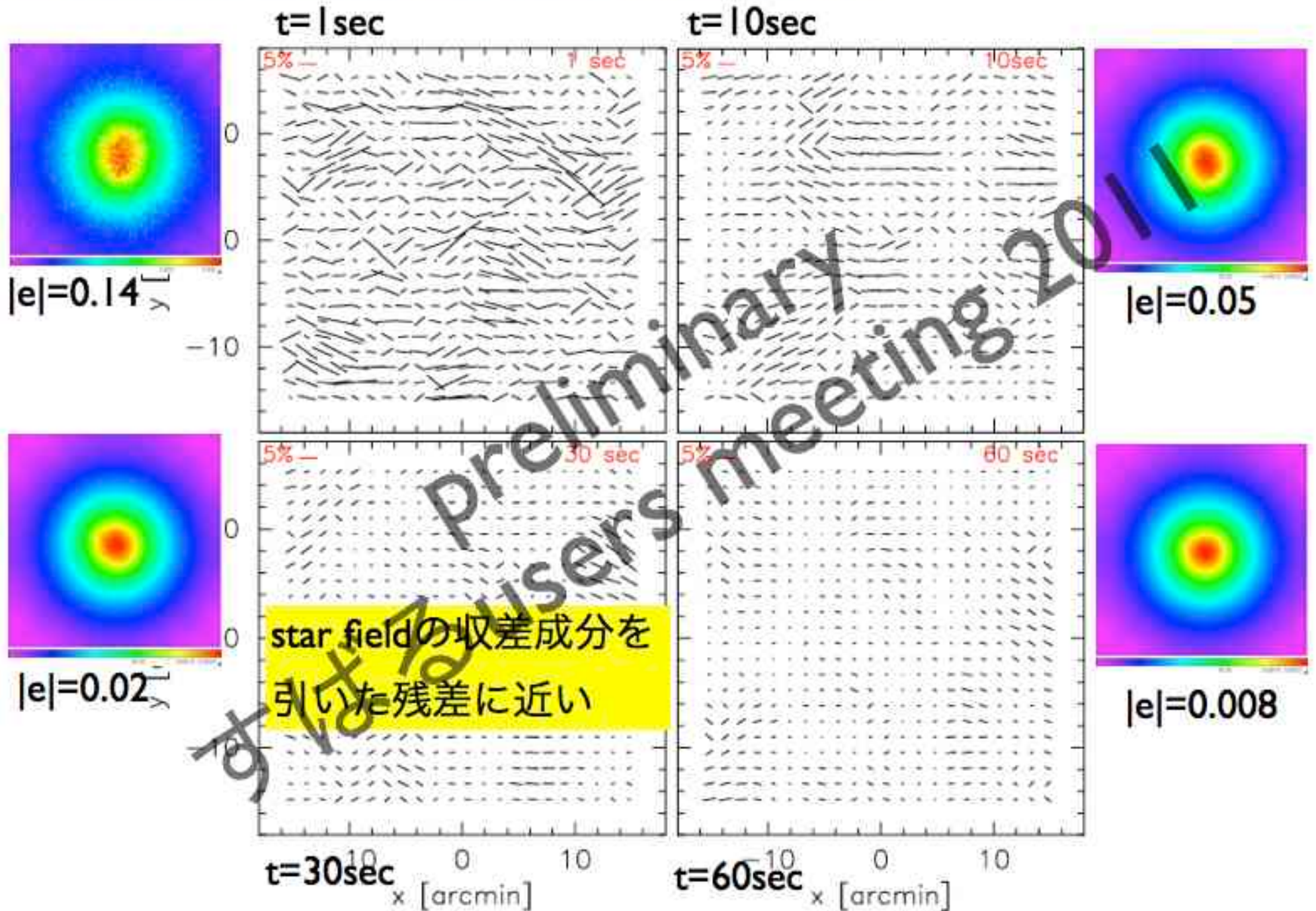


収差モデル=
軸対象成分+
非軸対象成分

残差=実測-収差モデル

収差成分を引いた残差

大気乱流によるPSF-ellipticity



PSF補正法のテスト

020929object042; texp=1min

収差

y [arcmin]

10
0
-10

aberration

5%

atmosphere

5%

疑似データ

=収差+大気乱流

y [arcmin]

10
0
-10

Sum

5%

大気乱流

疑似データ
PSF補正後

x [arcmin]

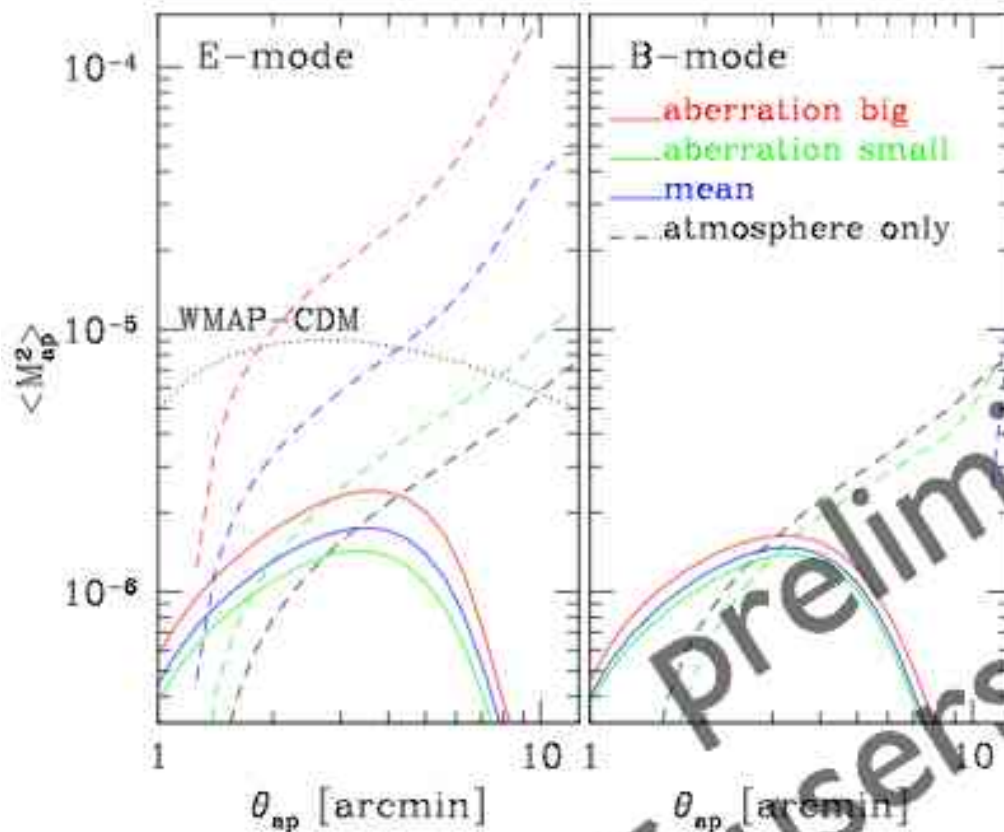
-10 0 10

-10 0 10

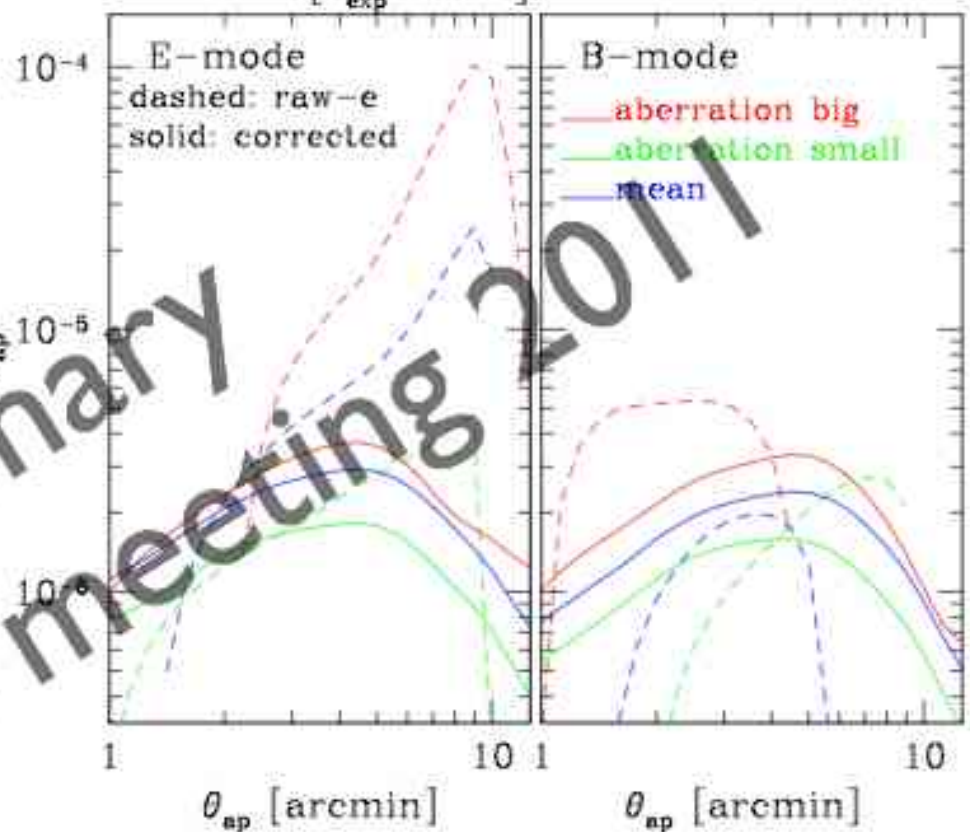
Preliminary meeting 2011
astrophysics users

PSF補正法のテスト

mock simulation

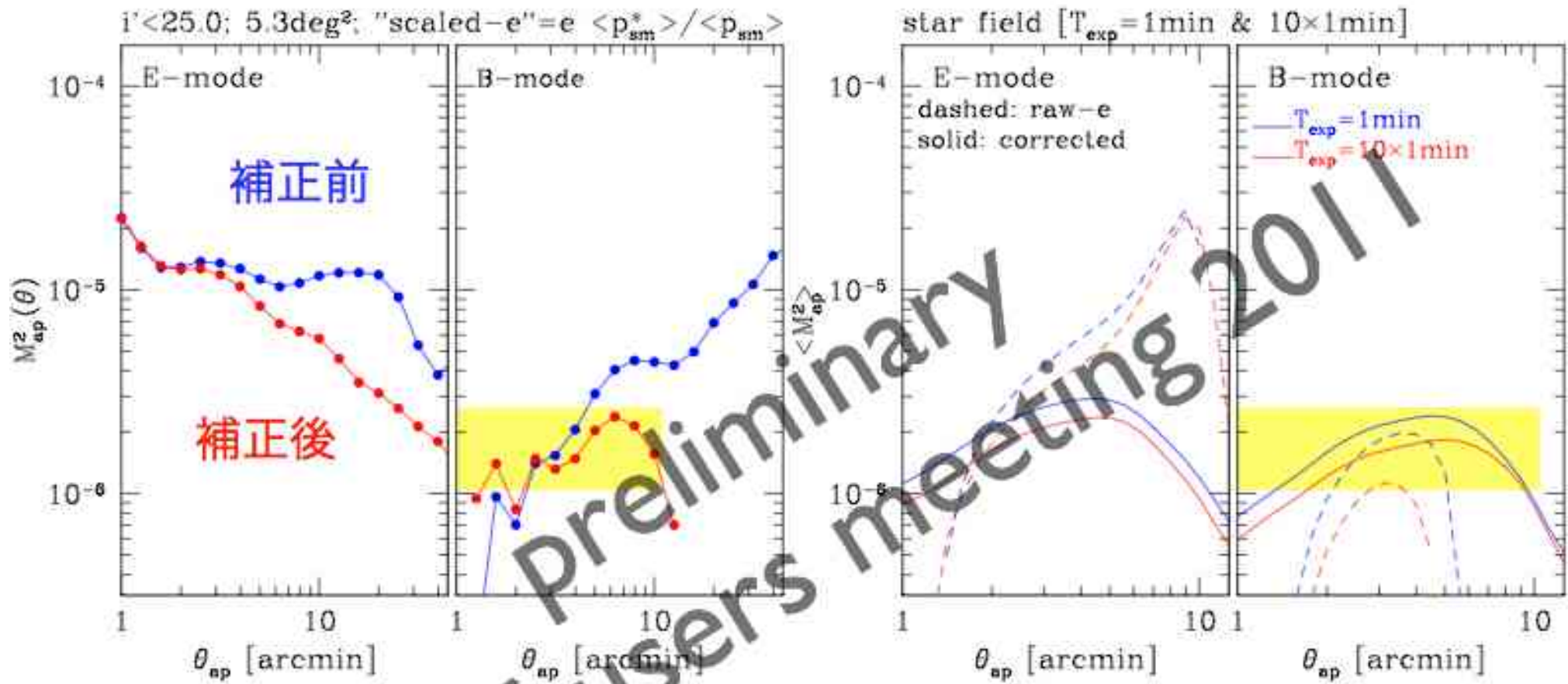


star field [$T_{\text{exp}}=1\text{min}$]



mock simulationはstar fieldの結果を大体再現している

cosmic shear dataのPSF補正



small scaleでのB-mode残差はstar-fieldの場合の残差と同程度なので、non-zero B-modeの起源は非等方PSF補正の残差
E-modeにも同程度のsystematicがあると予想される

まとめ

1. SuprimeCamデータを用いてcosmic shear測定を行った

- E-modeはWMAP7-CDMと無矛盾
- 小スケールに非ゼロ B-modeがある

2. star fieldデータを用いて非ゼロ B-modeの起源を調べた

- 非等方PSFの大部分は収差で説明できる
- 収差以外の成分がellipticityのRMSにして1%程度ある
- 小スケールの非ゼロ B-modeは非等方PSF補正の残差

3. 将来展望

- 大スケールでは非等方PSF補正は適切に機能している
- より広域サーベイによりより大スケールのシグナル検出を目指す